

# 鉄筋コンクリート梁の鋼纖維によるせん断補強

日本大学 正員 原 忠勝

## 1. はじめに

近年、コンクリート中に短い纖維をランダムに混入すると種々の機械的性質が改善される事に着目し、鉄筋コンクリート部材のせん断補強を試みようとする報告がなされている<sup>1)~3)</sup>。こでは、鉄筋コンクリート梁の鋼纖維によるせん断補強効果について若干の検討を試みた。

## 2. 鉄筋コンクリート梁のせん断補強因子

鉄筋コンクリート梁のせん断補強方法はManson-Hencky理論に基づくもので、適用方法は、1)全てのせん断力を腹筋筋に分担させる<sup>4),5)</sup>、2)せん断力の一部をコンクリートに負担させ、残りを腹筋筋に分担させる<sup>6)</sup>、大別する事が出来る。これらせん断補強筋には、従来より、スターラップ並びに折り曲げ筋筋があり、腹筋筋の初果についても比較的明らかにされている<sup>7)</sup>。

3-1. ランダムに配向せん断繊維による補強因子を知る手掛りとして、これら<sup>7)</sup>を指標とした。

### 2-1. せん断モーメント理論<sup>7)</sup>による場合

Laupa et al (1955)<sup>7)</sup>は、腹筋筋の初果を求めるために、17の国の試験体について検討した結果、次式で表された。 $M_{sw}/M_s = f(P_s \sigma_{sw})$  (1)

Eqn (1)の因子を鋼纖維の場合にも適用出来るものとすると、腹筋筋比Rに対するものは、鋼纖維混入率Rで表されるとした。 $P_s = A_{sw}/bs \propto \sqrt{f}$  (2)

また、配向性を無視し、付着力を $\alpha_f$ 、付着長 $l_0$ とすれば、斜め引張りに対する鋼纖維の抵抗力は、

$$T_{sf} = \alpha_f \cdot \sigma_{sf} = \tau_f \cdot \pi d_f l_0 \quad (3)$$

$$\text{となり}, \quad \sigma_{sf} = 2R\tau_f l_0/d_f \quad (l_0 = Rl_0/2, \quad R: \text{有効付着長の係数}) \quad (4)$$

3-2. 鋼纖維による補強因子は、

$$M_{sw}/M_s = f(P_s \sigma_{sw}) \approx f(\tau_f \cdot l_0/d_f) \quad (5)$$

となり、鋼纖維混入率Rとアスペクト比 $l_0/d_f$ の積で表わされる。

### 2-2. せん断力の分配による場合

斜めひびわれに沿う断面に作用するせん断力は、圧縮鉄筋コンクリート、主筋筋、及び腹筋筋が分担する。

$$S = S_c + S_{nf} + S_d \quad (6)$$

ここで、通常の腹筋筋を保たない梁のせん断力は既知であるとすれば、式は  $S - (S_c + S_d) = S_{nf} = A_{nf} \tau_f$  で、斜めひびわれを横切る纖維の本数をNとすると、 $A_{nf} = N \cdot \alpha_f$  (7) となる。また、この時  $\tau_f = \tau_f \sigma_{sf}$  。

$$\tau_{sf} = \tau_f \cos \theta \cdot N = \frac{\tau_f}{\pi d_f l_0} \cos \theta \cdot N \quad (8)$$

$$\text{3-2}, \quad \sigma_{sf} \tau_{sf} = F_f \cos \theta \cdot N^2 d_f / l_0 \approx f(N^2 d_f) \quad (9)$$

で、せん断力の分配を考慮した場合、Eqn. (9)の因子で表わされる。

### 3. 実験結果<sup>8)</sup>との検討

総局地盤理論によるせん断強度<sup>6)</sup>を用いて、リバウンド前比で設計した鉄筋コンクリート梁で、 $\tau_f$ ,  $l_0/d_f$ ,  $R \cdot N$ ,  $a/d$ を変化させた場合の結果を引用して検討を行つた。

まず、総局地盤力 $S_u$ と $a/d$ については図-1の示す如くで、 $\tau_f = 0.5 \text{ vol } \%$  の場合、ショート・ビームの強度<sup>9)</sup> ( $1.0 < a/d \leq 2.5$ ) ではアスペクト比が大きくなるに従つてせん断耐力も増加している。しかし、 $\tau_f = 1.0 \text{ vol } \%$  の場合、単純にアスペクト比、及び鋼纖維混入率の増加だけでは耐力も増加しない似乎是れる。

このようには、鋼纖維によるせん断補強効果が Batson<sup>1)</sup> の如く、織維間隔 = 3倍の時に最も高いとされる。また、せん断モードト理論<sup>2)</sup>によると、 $a/d \leq 3.5$  でない時は耐せん断力を期待出来ない。すなはち、この図では  $V_f \cdot l/d_f > 0.8$  とすれば、せん断力の最小値を示すと云われて  $a/d = 2.5$  でも耐せん断力に差はないと思われる。

せん断力の分担を考慮した Eqn (9) の関係は図-4 の通りで、定性的傾向を示すもので、破壊形態の正則性を示すもの。

### 参考文献

- 1) G. Batson et al, "Steel Fibers as Shear Reinforcement in Beams," Jour. of ACI, Vol 69, No. 10, Oct., 1972, pp 640 - 644
- 2) 山王, 小林, "鋼纖維を用いた鉄筋コンクリート構造のせん断耐力," 生産研究, 第27卷, 11号, Nov., 1975, pp. 31 - 34
- 3) G.R. Williamson et al, RILEM Sym., 1975, pp. 209
- 4) CEB-FIP 1970, R43, 構造・材料会
- 5) BS 1 CP-110 - Part 1, 1972
- 6) ACI Committee 318, ACI 318-71, 1971
- 7) A. Laupa et al, Univ. of Illinois Bulletin No. 428, 1955, 73 pp.
- 8) 原, 北田, 日本コンクリート工学会会報, 鋼纖維補強工事に関する調査シンポジウム報告集, 1977, pp. 89-92
- 9) D.C. Mackee, ph.D. Thesis, Univ. of Illinois, 1969

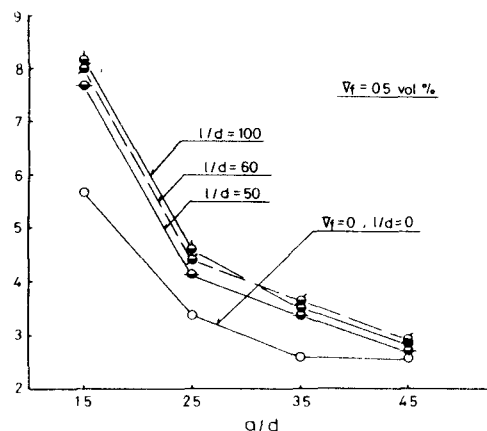


Figure-1 Test Results for Ultimate Shear Force  $S_u$  and  $a/d$  Ratios

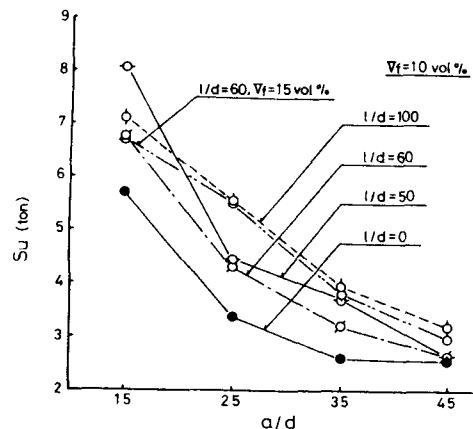


Figure-2 Test Results for Ultimate Shear Force  $S_u$  and  $a/d$  Ratios

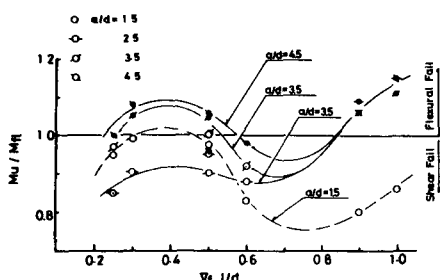


Figure-3 Relations between  $\mu/\mu_f$  and  $V_f \cdot l/d$  by Shear Moment Theory<sup>2)</sup>

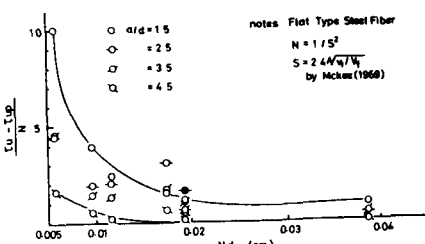


Figure-4 Steel Fiber as Shear Reinforcement Effect affected by Contribution of Shear Forces (Fiber Spacing by Mackee<sup>9)</sup>)